

# 微波駐波測量及 駐波測量器

范果健編著

科学出版社

73.459  
405

# 微波駐波測量及駐波測量器

范果健編著

ZL600/03

科 学 出 版 社

1960

## 內容簡介

駐波測量是微波測量技術中主要項目之一，本書綜合了1946年以來二十余篇有關文獻並結合試制成功的10厘米波段波導型駐波測量器對測量原理、測量器的結構和設計以及測試、定標、測量技術、誤差分析等作了比較全面的闡述和詳盡的討論，以實驗实例說明它的應用方法並給出數據。試制成功的測量器适合一般用途。

本書適于與微波技術有關的科學研究工作者以及大專學校有關專業學習微波測量時作為參考書，對於研製微波儀器的工作者以及一般從事微波測量的實驗工作者也都可以參考。

## 微波駐波測量及駐波測量器

范果健 編著

\*

科 學 出 版 社 出 版 (北京朝陽門大街 117 号)

北京市書刊出版業營業許可證出字第 061 号

中國科學院印刷所印刷 新華書店總經售

1960 年 4 月第一版 书号：2171 字数：56,000

1960 年 4 月第一次印刷 开本：787×1092 1/32

(京) 0001—8,00 印张：2 18/27 插页：3

定价：0.42 元

# 目 录

一、引言.....	1
二、驻波测量的基本原理及驻波测量器的结构.....	1
2. 1. 基本原理.....	1
2. 2. 波导型驻波测量器的结构.....	6
三、波导型驻波测量器的设计要点.....	8
3. 1. 波导尺寸.....	9
3. 2. 槽.....	10
1. 槽对波长的影响.....	10
(1) 槽对波导波长的影响.....	
(2) 槽对波导截止波长的影响.....	
2. 槽对波导特性阻抗的影响.....	11
3. 槽的位置.....	11
4. 槽的尺寸.....	12
(1) 槽宽 $W$ .....	
(2) 槽深 $D$ .....	
(3) 槽长 $L$ .....	
(4) 槽端反射免除法.....	
3. 3. 舌套及探针座.....	14
3. 4. 探针检波装置.....	17
1. 探针.....	18
2. 检波器.....	18
3. 调配电路.....	18
4. 指示部分.....	19
3. 5. 机械结构.....	20
四、驻波测量器的测试及定标.....	23
4. 1. 测试.....	23
1. 机械稳定性.....	23
2. 衰减.....	24

03455

3. 反射	25
4. 探針導納	25
4. 2. 定标	27
1. 标尺位置	27
2. 探針穿伸度	28
3. 晶体二极管检波律及放大器的指示器	28
4. 开槽影响的修正	35
<b>五、駐波測量技术</b>	<b>38</b>
5. 1. 一般情况	38
5. 2. 駐波图形与检波律的关系	39
1. 直線律	39
2. 平方律	40
5. 3. 测量方法	43
1. $S < 1.005$	43
2. $1.005 \leq S \leq 1.5$	43
3. $1.5 \leq S \leq 10$	44
4. $S \geq 10$	45
<b>六、誤差分析</b>	<b>49</b>
6. 1. 訊号发生器	49
6. 2. 晶体二极管检波器及放大器	50
6. 3. 联接处	50
6. 4. 机械部分	50
6. 5. 开槽波导本身	50
6. 6. 探針	51
<b>七、应用举例</b>	<b>59</b>
7. 1. 膜片电納的測量	59
7. 2. 双 T 型調配器的应用	61
<b>八、結束語</b>	<b>62</b>
附录：試制駐波測量器用开槽波导的工序	64
参考文献	66

## 一、引言

近代无线电电子学的迅速发展使得无论在科学的研究中或是通讯工程技术的应用都越来越趋向于超高频方面。以波长来说，在米波之下已开辟了新的领域——分米波、厘米波以至毫米波波段，总起来称作微波。由于随着频率的增高，电子管显示的极间电容、引线电感和电子过渡时间效应以及元件的物理性质、形状所造成巨大损失，广泛应用在低频电路的集中常数系统已不能适应新领域的研究。取而代之的是基于新的工作原理的电真空器件和分布常数系统的电路元件。因此在微波范围内应用的测量仪器和测量方法也随之而异，上述各个波段也不尽相同。然而，驻波测量是这些测量中最基本、最重要的项目之一。在这些波段的传输系统内测量阻抗、反射、解决阻抗匹配问题主要依赖于驻波测量。因为驻波就是由传输系统内入射波和反射波中电和磁的分量分别形成位置固定而周期分布的电场和磁场图形。此外，借助驻波测量又可测定传输系统的波导波长  $\lambda_2$ ，衰减常数  $\alpha$ ，谐振腔的品质因数  $Q$  以及绝缘材料相对介电常数  $\epsilon_r$  等等。一般常见的驻波测量器就是为此目的而设计成的测量场强和场的分布的精密仪器。

本文对波导型驻波测量器的结构、原理、测试、定标、测量技术、误差等等加以阐述和分析，并以试制成的 10 厘米波段波导型驻波测量器为例加以讨论。

## 二、驻波测量的基本原理及驻波测量器的结构

### 2.1. 基本原理<sup>[1-7]</sup>

一个微波传输系统，当其中仅有主模传输时，由信号发生器至

負荷之間任何地方若有任何的阻抗不連續，則在該處將產生與入射波頻率相同而傳播方向相反的反射波，此反射波與入射波的橫向（垂直於傳播方向）電的分量和磁的分量在系統中每一點將分別合成一固定位置的電場和磁場而且是周期分布的圖形，這就是駐波。在匹配良好的傳輸系統中則僅有行波而沒有駐波。由此可見駐波的波幅和相角取決於反射波與入射波各分量的相對關係，而對入射波來說，反射波的波幅和相角則由阻抗不連續的程度而定。假設一理想的無損耗的傳輸系統，其中僅有一處不連續，所以由測量駐波的大小和相角即可間接求出不連續處的阻抗數值及性質。

現在以常用于厘米波波段的波導系統說明其間關係：為簡單起見，設一無損耗的、均勻的波導傳輸系統，它的特性導納  $Y_0 = 1$ ，一端接訊號發生器，一端接匹配負荷，在它的端接地方有一不連續面  $M$ ， $L$  是距不連續面為  $l$  的參考面（圖 2.1.1）。

設： $E^+$ ——由發生器發出的入射波在  $L$  面的交變電場橫向分量場強。 $E^+ = 1$ 。

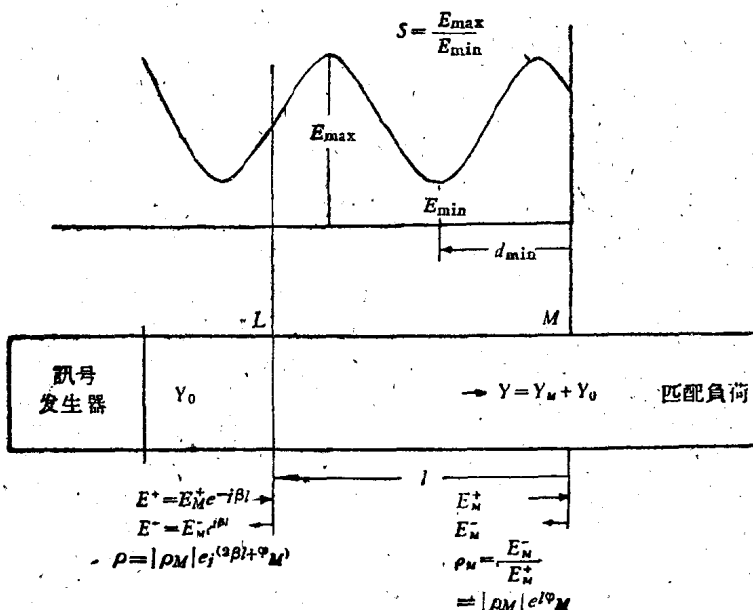


圖 2.1.1 無損耗波導傳輸系統中有一阻抗不連續

$E^-$ ——由不連續面  $M$  产生的反射波在  $L$  面的交变电場横向分量場強。

$E$ —— $L$  面的横向交变总电場場強,  $E^+$  和  $E^-$  的矢量差。

$H^+, H^-, H$  代表磁场分量, 意义同上。 $H^+ = 1$ 。在时间上  $E^+, H^+$  同相,  $E^-, H^-$  反相。 $E$  或  $H$  附有脚註  $M$  的表示在不連續面的数值。

$$E = E^+ - E^-, \quad (2.1.1)$$

$$H = H^+ + H^-. \quad (2.1.2)$$

設  $\rho_M$ ——不連續面的电場反射系数

$$\rho_M = \frac{E_M^-}{E_M^+} = - \frac{H_M^-}{H_M^+}, \quad (2.1.3)$$

$$\rho_M = |\rho_M| e^{i\varphi_M}, \quad (2.1.4)$$

式中  $|\rho_M|$ ——反射系数的模,

$\varphi_M$ ——反射系数的相角。

$$\rho_M = \frac{Y_0 - Y}{Y_0 + Y}, \quad (2.1.5)$$

式中  $Y_0$ ——波导的特性导納, 与波导物理尺寸、填充介质以及其中的波长有关。

$$Y_0 = \frac{H^+}{E^+} = - \frac{H^-}{E^-} = 1. \quad (2.1.6)$$

$Y$ ——不連續处总导納即波导納。

$$Y = Y_M + Y_0. \quad (2.1.7)$$

$Y_M$ ——造成不連續的导納。

$\therefore L$  面总电場場強:

1) 由于波导中传递的波有各种不同的模, 因此波导的特性阻抗(或特性导納)不能与传输线一样有一统一的定义。例如  $H_{10}$  (矩形波导中  $H_{10}$  模), 它的特性阻抗:

$$Z_0 = \sqrt{\frac{\mu}{\epsilon} \frac{\lambda_g}{\lambda} \frac{b}{a}},$$

式中  $\mu$ ——波导填充介质的导磁率,  $\epsilon$ ——波导填充介质的介电常数,  $\lambda_g$ ——波导波长,  $\lambda$ ——自由空间波长,  $b$ ——波导窄边长度,  $a$ ——波导宽边长度。(2.1.5) 中的

$$Y_0 = \frac{1}{Z_0}.$$

$$\begin{aligned}
 E &= E^+ - E^- \\
 &= E^+ [1 - |\rho_M| e^{j(2\beta l + \varphi_M)}] \\
 &= E^+ [1 - |\rho_M| \cos(2\beta l + \varphi_M) - j|\rho_M| \sin(2\beta l + \varphi_M)].
 \end{aligned} \tag{2.1.8}$$

式中  $\beta$ ——传输系统的相移常数。

$$\beta = \frac{2\pi}{\lambda_g}. \tag{2.1.9}$$

$\lambda_g$ ——波导波长。

同理得  $L$  面总磁场场强：

$$H = H^+ [1 + |\rho_M| \cos(2\beta l + \varphi_M) + j|\rho_M| \sin(2\beta l + \varphi_M)]. \tag{2.1.10}$$

(2.1.8), (2.1.10) 分别为  $E$  和  $H$  的驻波，都是  $(2\beta l + \varphi_M)$  的周期函数。

当  $2\beta l + \varphi_M = 0, 2\pi, \dots, 2n\pi$ ,  $E$  为极小值,  $H$  为极大值：

$$E_{\min} = E^+ (1 - |\rho_M|), \tag{2.1.11}$$

$$H_{\max} = H^+ (1 + |\rho_M|). \tag{2.1.12}$$

当  $2\beta l + \varphi_M = \pi, 3\pi, \dots, (2n + 1)\pi$ ,  $E$  为极大值,  $H$  为极小值：

$$E_{\max} = E^+ (1 + |\rho_M|), \tag{2.1.13}$$

$$H_{\min} = H^+ (1 - |\rho_M|). \tag{2.1.14}$$

我們定义  $S$  为驻波比<sup>1)</sup>

$$S = \frac{E_{\max}}{E_{\min}}. \tag{2.1.15}$$

則

$$S = \frac{1 + |\rho_M|}{1 - |\rho_M|}, \tag{2.1.16}$$

$$|\rho_M| = \frac{S - 1}{S + 1}. \tag{2.1.17}$$

1) 苏联书籍中称为驻波系数 (KCB)，它的倒数称为行波系数 (KBB)。有些书中  
定义驻波比为  $S = \frac{E_{\min}}{E_{\max}}$ 。

L 面的导纳应满足

$$Y = Y_M + Y_0 = \frac{H}{E}. \quad (2.1.18)$$

由 (2.1.8), (2.1.10) 得

$$\frac{Y}{Y_0} = \left[ \frac{1 - |\rho_M|^2}{1 - 2|\rho_M| \cos(2\beta l + \varphi_M) + |\rho_M|^2} + i \frac{2|\rho_M| \sin(2\beta l + \varphi_M)}{1 - 2|\rho_M| \cos(2\beta l + \varphi_M) + |\rho_M|^2} \right]. \quad (2.1.19)$$

Y 也是  $(2\beta l + \varphi_M)$  的周期函数。

当  $2\beta l + \varphi_M = 0, 2\pi, \dots, 2n\pi$ , Y 是实数又是极大值：

$$Y_{\max} = Y_0 \left[ \frac{1 + |\rho_M|}{1 - |\rho_M|} \right] = Y_0 S. \quad (2.1.20)$$

当  $2\beta l + \varphi_M = \pi, 3\pi, \dots, (2n + 1)\pi$ , Y 是实数又是极小值：

$$Y_{\min} = Y_0 \left[ \frac{1 - |\rho_M|}{1 + |\rho_M|} \right] = \frac{Y_0}{S}. \quad (2.1.21)$$

观察 (2.1.19) 式，若  $|\rho_M|$  及  $(2\beta l + \varphi_M)$  为已知，即可计算  $\frac{Y}{Y_0}$ ， $\frac{Y}{Y_0}$  称为对波导特性导纳的标称导纳。 $|\rho_M|$  可由测得的驻波比，利用 (2.1.17) 式求出。

将参考面 L 移至不连续面 ( $l = 0$ )，取驻波图形上极小点作参考点，即令  $2\beta d_{\min} + \varphi_M = 0$ ， $d_{\min}$  表示由不连续面至最近一极小点的距离（图 2.1.1），可由实验求出。

$\beta$  由计算或测出之  $\lambda_x$  代入 (2.1.9) 式求得，因此决定了  $\varphi_M$ 。

最后将  $|\rho_M|$ ,  $\varphi_M$  代入 (2.1.19)，则  $\frac{Y}{Y_0}$  可完全确定。由

(2.1.18),  $\frac{Y_M}{Y_0}$  也随着求出：

$$\frac{Y_M}{Y_0} = \left[ \frac{2|\rho_M|(\cos \varphi_M - |\rho_M|)}{1 - 2|\rho_M| \cos \varphi_M + |\rho_M|^2} + i \frac{2|\rho_M| \sin \varphi_M}{1 - 2|\rho_M| \cos \varphi_M + |\rho_M|^2} \right]. \quad (2.1.22)$$

(2.1.19) 式計算很繁，通常在測出  $S$  及  $d_{\min}$  之后，利用阻抗圓圖<sup>[9,10]</sup>进行图解，求标称导納  $\frac{Y}{Y_0}$ ，則很簡便。

## 2.2. 波导型駐波測量器的結構<sup>[1-7]</sup>

由上节数学分析可見，若有一种仪器能测量波导中入射波和反射波合成的总电場或总磁場的极大值和极小值以及測定其位置，就能达到駐波測量的目的。根据这一原理設計成的駐波測量器<sup>[1]</sup>約可分两类，一类测电場，另一类测磁場<sup>[11]</sup>，结构各有不同。直至目前，广泛应用的都属前一类，后者因不易得到純粹的磁耦合，很少采用。根据开槽線的型式又可分为同軸線型<sup>[18]</sup>（平行板型的<sup>[28]</sup>基本上也属于这一类）及波导型，后一型式是本节所要叙述的，此外还有其他測量設備和測量方法<sup>[1-6,12]</sup>。

一截面为矩形的波导，传输  $H_{10}$  主模，由麦克斯韦方程解出其中电磁場方程式如下：

$$\left. \begin{aligned} H_z &= H_1 \cos \frac{\pi x}{a}, \\ H_x &= jH_1 \frac{2a}{\lambda_g} \sin \frac{\pi x}{a}, \\ E_y &= -jH_1 \frac{2a}{\lambda_g} Z \sin \frac{\pi x}{a}, \\ H_y &= E_x = E_z = 0, \\ Z &= \frac{E_y}{H_x}. \end{aligned} \right\} \quad (2.2.1)$$

波导内  $H_{10}$  波电磁場及波导壁上电流分布見图 2.2.1。图 2.2.2 是波导型駐波測量器示意图。

$WG$  是矩形波导，在它的上面  $a$  边正中央平行于波导軸  $z$  的方向开有一狹槽  $S$ ，并有一金属探針  $P$ ，經過槽垂直伸入波导內少許。由(2.2.1)式及图 2.2.1 知駐波电場場強在  $a$  边正中央最大，沿軸

1) 又称为开槽線、測量線、駐波仪、駐波比測量器、駐波指示器。

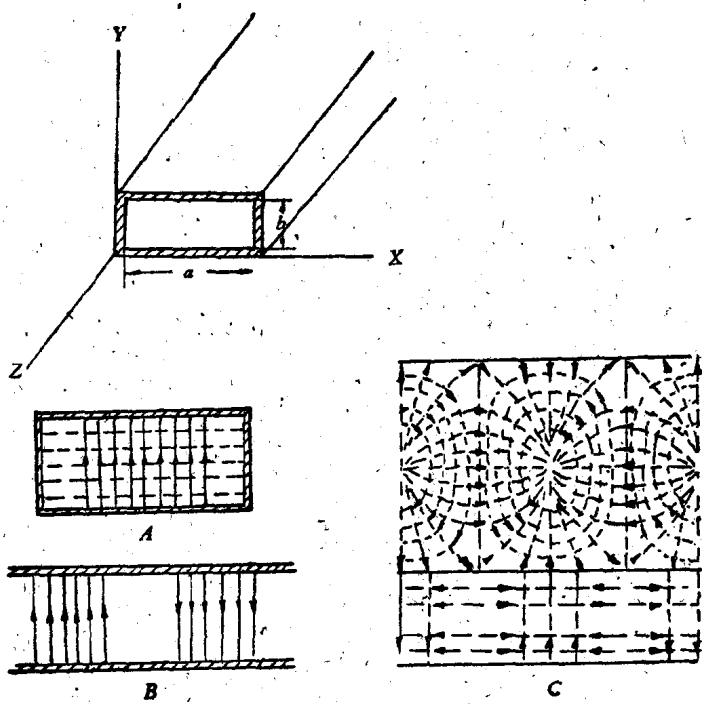


图 2.2.1 矩形波导内  $H_{10}$  波分布图

- |         |           |
|---------|-----------|
| A. 横截面图 | —— 电力线    |
| B. 纵截面图 | ----- 磁力线 |
| C. 表面图  | ——— 电流线   |

向成周期函数分布(見图 2.2.2). 探針与电力綫平行耦合的結果，必然得感应电压，它的大小正比于該处的場強。交变电流在同軸綫  $CO$  (或波导)組成的探針电路內，經整流器  $D$  整流后，經過指示器  $I$ ，回至同軸綫外导体(或波导)成一封閉迴路。因此，指示器的讀数也間接表示出場強的大小。当探針沿槽移动，指示器必然会有极大值和极小值出現。从而求得  $S = \frac{E_{\max}}{E_{\min}}$ 。由标尺  $R$  指出的探針位置即可測出极小点至不連續面的距离  $d_{\min}$ 。 $PL$  是可滑动的調諧活塞，在探針电路中起匹配阻抗的作用。 $C$  是探針座，可沿軸向滑动，它上面装有探針，在滑动时維持它与波导的相对固定位置。

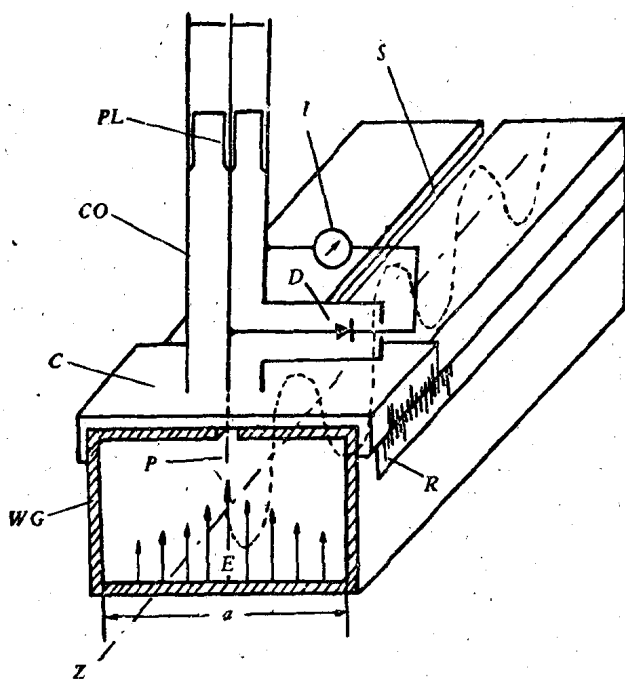


图 2.2.2 波导型驻波测量器示意图

并保持探针电路与波导的接触。检波器通常都用晶体二极管，也有用热电偶或热阻器的，但都不及前者简便。指示器一般多用微安表，或用选频放大器及电子管电压表，依要求的灵敏度不同而定。

### 三、波导型驻波测量器的设计要点

波导型驻波测量器基本上是由一开槽波导与一可移动的探针检波装置组合而成的。如前所述，驻波测量是依靠伸入槽内少许的探针所检拾的电压的大小以及探针的位置所指示的驻波图形的相角决定的。要准确地测出这些数值，概括地说，有下列六项总的要求：

1. 测量器本身固有的阻抗不连续应尽可能减至最小。

与波导的相对位置保持固定，而且必须对称，即只能允许探针沿波导上 a 边中线移动，它伸入波导槽内的长度——穿伸度，在任何位置必需相同，而且必须与电力线保持平行（即垂直于 a 边），不能有任何倾斜、偏移。

3. 联系着检波装置（即图 2.2.2 中探针座 C 以上各部分）和波导的探针座 C 在任何位置均应与波导保持同样紧密程度的良好的电接触。

4. 指示器所指示的数据应与驻波电场场强的大小保持一定的关系。

5. 标尺读数必须能重复、准确而精密地读出探针的位置。

6. 在满足以上五个要求的同时，应考虑到仪器部件加工及装配的方便，经济、实用和美观。

由此可见，驻波测量器的设计包括机械的和电的两方面问题，而在机械的和电的参数之间又要有准确的联系，只有在两方面问题同时获得妥善的解决，才能完全满足上述要求，本文选择其中要点分别讨论于后。

### 3.1. 波 导 尺 寸

我们所采用的是 10 厘米波段通用标准，即内尺寸是 72 毫米 × 34 毫米。由于波导尺寸是决定其特性阻抗的因素之一，而测定的阻抗又都是对开槽波导特性阻抗的标称阻抗。因此估计波导二边尺寸的公差对阻抗变化的影响很有意义。

现在以无槽波导计算。

波导的特性阻抗定义为：

$$Z_0 = \eta \frac{\lambda_s b}{\lambda a}, \quad (3.1.1)$$

式中  $\eta = \sqrt{\frac{\mu}{\epsilon}},$

$\mu$ —波导填充介质的导磁率；

$\epsilon$ —波导填充介质的介电常数，

$$\lambda_g = \frac{\lambda}{\sqrt{1 - \left(\frac{\lambda}{\lambda_c}\right)^2}} = \text{波导波长}, \quad (3.1.2)$$

$\lambda$ ——TEM 波波长,

$\lambda_c = 2a$  = 波导的截止波长.

将此关系代入 (3.1.1) 并取偏微分得

$$\frac{\delta Z_0}{Z_0} = -\frac{\delta a}{a} \left(\frac{\lambda_g}{\lambda}\right)^2 + \frac{\delta b}{b}. \quad (3.1.3)$$

实际应用时  $\left(\frac{\lambda_g}{\lambda}\right)^2$  约在 1.5—3 范围之间, 而  $\frac{a}{b}$  通常约等于 2,

所以我們可将  $a, b$  二边尺寸的公差定作一样, 对特性阻抗的影响相同, 仅有正负之分.

我們試制的开槽,  $a, b$  边的最大公差約为 ±0.05 毫米 (測量結果), 故  $Z_0$  的誤差約为 0.15%.

### 3.2. 槽

波导尺寸对阻抗的影响已見上述, 毫无疑問, 在設計及加工过程中均应尽可能使它接近标准值. 然而基于測电場原理設計的駐波測量器又不可避免地要在波导的一面上开一狹槽, 它不仅对特性阻抗有影响, 而且还有波导波长的变化、槽端引起的阻抗不連續、波导内能量越槽的辐射作用以及槽本身的激励作用等等, 所以波导上开槽的位置与槽的长、寬、深等尺寸在設計时必需妥善选择处理.

#### 1. 槽对波长的影响

(1) 槽对波导波长的影响<sup>[1]</sup>:

$$\lambda'_g = \lambda_g \left(1 + \frac{W^2 \lambda_g^2}{8\pi b a^3}\right), \quad (3.2.1)$$

式中  $\lambda'_g$  ——开槽波导的波导波长,

$W$  ——槽寬.

## (2) 槽对波导截止波长的影响:

由 (3.1.2)

$$\lambda'_c = 2a \left(1 - \frac{W^2}{2\pi b}\right), \quad (3.2.2)$$

式中  $\lambda'_c$  —— 开槽波导的截止波长。

## 2. 槽对波导特性阻抗的影响

由 (3.1.1), (3.2.1) 知, 槽对波导特性阻抗的影响与对波导波长的影响相同。

$$Z'_0 = Z_0 \left(1 + \frac{W^2 \lambda_c^2}{8\pi b a^3}\right), \quad (3.2.3)$$

式中  $Z'_0$  —— 开槽波导的特性阻抗。

## 3. 槽的位置

首先, 由图 2.2.1 直觉观察知, 以沿  $a$  边中线开一狭槽最为相宜, 因为只有如此, 所测的电场为最强而且割断波导壁上的电流线为最少, 因此也减小了能量越槽的辐射。槽不在波导正中央, 会引起槽波的激发, 由于辐射而产生损失, 而且对波导中的主模产生干扰作用, 若槽的长度正是主模的半波导波长的整数倍, 则对主模产生显著的谐振作用。当探针经过槽伸入波导, 在槽隙中将槽分为两部分而且随探针的移动而改变它的长度, 如此, 在槽的两端至探针之间易引起某些槽波的激励, 耦合至探针电路, 则指示器指出的读数将不能代表真实驻波的数值。对谐振槽来说, 若槽的中线平行于波导  $a$  边中线移动, 则槽对主模形成一电导  $G$ , 它的值随槽的中线与波导  $a$  边中线的偏移  $x$  的正弦函数的平方而变化 ( $G \propto \sin^2 \frac{\pi x}{a}$ )。若槽中线与波导中线偏一角度, 则形成一电阻, 若角度很小, 它的值近似地随角度的平方而减小<sup>[15]</sup>。

槽波的截止波长  $\lambda_c$  可用下式表示<sup>[14]</sup>:

$$\cot\left(\frac{\pi a}{\lambda_c}\right) = \frac{2b}{\lambda_c} \left[ 2\ln\left(\frac{0.372b\lambda_c}{W^2}\right) + \frac{2}{\sqrt{1 - \left(\frac{2b}{\lambda_c}\right)^2}} + \frac{2\pi t}{W} \right]. \quad (3.2.4)$$

式中  $a$ ,  $b$  —— 各为矩形波导的宽、窄边尺寸,

$W$  —— 槽宽,

$t$  —— 槽壁厚(槽深).

将标准波导尺寸代入上式求出  $\lambda_c$  较波导的截止波长  $2a$  大很多, 因此, 槽波的波导波长小于  $H_{10}$  波的波导波长.

为避免槽波和它的干扰, 首先要将槽开在波导正中央, 使它的对称度(槽轴与波导轴重合的程度) 不大于  $0.001a$ , 其次参阅 3.3 节在探针之外加装舌套.

#### 4. 槽的尺寸

(1) 槽宽  $W$ . 由上列各式可見槽越窄越好, 但实际装置上除去探針經過槽伸入波导之外, 还有舌套套在探針外面(見 3.3 节), 为加工、制作方便起見, 槽不能过分狹窄, 实用上在 10 厘米波段一般为 1.5—3 毫米, 这时对特性阻抗及波导中波长的影响可忽略. 我們选择的槽宽  $W = 2.5$  毫米.

$$\frac{\delta Z_0}{Z_0} \doteq 4 \times 10^{-4},$$

$$\lambda_g' - \lambda_g \doteq 4 \times 10^{-4}.$$

(2) 槽深  $D$ . 为使槽的辐射作用減至可以忽略的程度, 經驗指出:  $D \geq 2W$ . 我們选择  $D = 5$  毫米, 即波导壁厚.

(3) 槽长  $L$ . 槽的有效长度由探針指示出的极大值、极小值的个数决定. 为測駐波比至少应指出一极大值、一极小值, 所以探針的最小动程应为  $\frac{1}{4} \lambda_g$ . 实用上若探針指示出較多的极大值及极小值, 可供测量比較或校核之用, 而且在測波长方面亦較准确. 槽过长, 加工不易, 仪器变得笨重, 也沒有必要. 因此常将槽的有效长